

К вопросу об устойчивости объёмного самостоятельного разряда в рабочих смесях нецепного электрохимического HF-лазера

А.А.Белевцев, С.Ю.Казанцев, И.Г.Кононов, А.А.Лебедев, С.В.Подлесных, К.Н.Фирсов

Исследованы зависимости напряжения горения объёмного самостоятельного разряда (OCP) от удельного энерговклада в смесях SF₆ с C₂H₆ и H₂, являющихся рабочими средами нецепного электрохимического HF-лазера. Установлено, что напряжение линейно увеличивается с ростом удельного энерговклада, причем относительное увеличение напряжения в смесях SF₆ – C₂H₆ заметно выше, чем в чистом SF₆ и в смесях SF₆ – H₂. Выдвинуто и обосновано предположение об определяющей роли процесса диссоциации молекул электронным ударом в наблюдаемом росте напряжения. По экспериментальным зависимостям найдены приближённые значения энергетической цены образования фрагментов диссоциации, в том числе и атома фтора при разряде в чистом SF₆: $\tilde{E}_d(F) = 5 \pm 1$ эВ. Величины $\tilde{E}_d(F)$ хорошо согласуются с известными из литературы данными, полученными другими экспериментальными методами. Сделан вывод о том, что процесс диссоциации является основным механизмом ограничения плотности тока, позволяющим реализовать OCP без предварительной ионизации газа в рабочих средах нецепного HF-лазера и определяющим более высокую устойчивость объёмного разряда в смесях SF₆ с углеводородами (углеродтериидами) по сравнению со смесями с водородом (дейтерием). Предложена и обоснована методика численной оценки эффекта ограничения плотности тока и его влияния на устойчивость OCP.

Ключевые слова: нецепной электрохимический HF-лазер, SF₆, объёмный самостоятельный разряд, неустойчивость разряда, ограничение плотности тока, диссоциация.

1. Введение

Объёмный самостоятельный разряд (OCP) в плотных газах широко применяется для накачки газовых лазеров, что и определяет многолетний интерес к его исследованиям [1–5]. Одним из наиболее мощных электроразрядных лазеров среднего ИК диапазона длин волн является нецепной химический HF(DF)-лазер. Донором атомарного фтора в этом лазере обычно служит сильно электроотрицательный газ SF₆ [4, 5]. Его присутствие в смеси в течение многих лет ограничивало возможность увеличения энергии излучения нецепного HF(DF)-лазера из-за проблем, связанных с реализацией OCP [4]. Это было обусловлено, в первую очередь, следующим обстоятельством. Известно, что ключевым условием зажигания OCP является наличие в разрядном промежутке первичных электронов с концентрацией не ниже некоторой минимальной величины, гарантирующей перекрытие головок развивающихся электронных лавин при приложении к промежутку импульса высокого напряжения [1, 3, 6]. Для получения первичных электронов применяется предионизация газа источниками жёсткого излучения [1, 6, 7] или предварительное заполнение промежутка электронами за счёт их дрейфа в электрическом поле [2, 8]. Эти методы эффективны для инициирования OCP в слабо электроотрицательных газах, например в рабочих смесях

электроразрядных CO₂-лазеров [2, 9], эксимерных лазеров [10] и др. Что касается сред на основе сильно электроотрицательных газов, в том числе и на основе SF₆, то все они, как следует из простого анализа, оказываются непригодными из-за больших потерь электронов в процессе прилипания независимо от метода предварительной ионизации газа [5, 11]. Иными словами, в соответствии со сложившимися представлениями о физике формирования объёмных разрядов, получение OCP в сильно электроотрицательных газах стандартными методами принципиально невозможно. Однако в работе [12] было обнаружено, что при средних давлениях (10–200 Тор) самостоятельный разряд в SF₆ и газовых смесях на его основе развивается в объёмной форме в отсутствие какой бы то ни было предионизации газа как в промежутках с однородным электрическим полем, так и в промежутках с высоким краевымением поля при условии, что на поверхность катода равномерно нанесены мелкомасштабные (~50 мкм) неоднородности. Для этой необычной формы OCP в [5, 13] был введен термин «самоинициирующийся объёмный разряд».

В [14] установлено, что подобное развитие самостоятельного разряда характерно не только для SF₆, но и для ряда других сильно электроотрицательных газов – фторидов, иодидов и хлоридов. Динамика самоинициирующегося объёмного разряда детально исследована в [5, 15] на примере SF₆ и смесей SF₆ с H₂ и C₂H₆, служащих рабочими средами нецепного HF-лазера. Разряд зажигается, как правило, на краю разрядного промежутка в области локального усиления электрического поля в виде одного или нескольких диффузных каналов. Затем, по мере увеличения электрической энергии, вводимой в плазму, появившиеся первыми диффузные каналы инициируют образование новых каналов, и разряд самопро-

А.А.Белевцев. Институт теплофизики экстремальных состояний Объединенного института высоких температур РАН, Россия, 127412 Москва, ул. Ижорская, 13/19

С.Ю.Казанцев, И.Г.Кононов, А.А.Лебедев, С.В.Подлесных, К.Н.Фирсов. Институт общей физики им. А.М.Прохорова РАН, Россия, 119991 Москва, ул. Вавилова, 38; e-mail: k_firsov@rambler.ru

Поступила в редакцию 10 марта 2011 г.

извольно «растекается» по промежутку из зоны первона-чального пробоя, перемещаясь перпендикулярно приложеному электрическому полю при напряжении на электродах, близком к напряжению статического пробоя. Обнаружение этой формы ОСР позволило более чем на порядок увеличить выходную энергию излучения нецепных HF(DF)-лазеров и показать возможность её дальнейшего увеличения [4–13].

В [5, 13] показано, что развитие ОСР в форме самоинициирующегося объёмного разряда обусловлено существованием в сильно электроотрицательных газах механизмов ограничения плотности тока в диффузном канале разряда, которые препятствуют протеканию всей энергии, запасённой в источнике питания, через один канал. В результате такого ограничения для разрядной системы оказывается более выгодным по мере увеличения вводимой в плазму энергии образовывать новые диффузные каналы, а не пропускать всю энергию через один.

В [4, 5, 16, 17] было установлено, что небольшие добавки (5%–20%) некоторых газов к SF₆, например углеводородов (или угледайтеридов), позволяют заметно увеличить длительность устойчивого горения и однородность ОСР. Представляется вероятным, что подобные добавки влияют на устойчивость ОСР через ограничение плотности тока. Однако исследований взаимосвязи эффекта ограничения плотности тока и устойчивости ОСР в газовых смесях на основе SF₆ до настоящего времени не проводилось. Очевидно, что для установления подобной взаимосвязи требуется понимание механизмов ограничения плотности тока. В качестве таких механизмов ранее рассматривались процессы прилипания электронов к колебательно-возбуждённым молекулам SF₆ [5], электрон-ионной рекомбинации [15] и диссоциации молекул SF₆ электронным ударом [5]. В [18] было показано, что прилипанием электронов к колебательно возбуждённым молекулам SF₆, образующимся в плазме ОСР, можно пренебречь. Константы скоростей электрон-ионной рекомбинация (β_{ei}) и отрыва электронов от отрицательных ионов электронным ударом (k_d) для SF₆ в условиях ОСР оказываются, согласно работам [19, 20], близкими: $\beta_{ei} \approx k_d = (2 - 3) \times 10^{-7} \text{ см}^3/\text{с}$. Поэтому влияние этих процессов на разрядные характеристики в значительной мере взаимно компенсируется, и наиболее вероятным кандидатом на роль основного механизма, ответственного за эффект ограничения плотности тока в газовых смесях на основе SF₆, представляется процесс диссоциации SF₆ электронным ударом, на который расходуется более 80% вводимой в плазму ОСР энергии [21].

Целью настоящих исследований являлся поиск экспериментальных доказательств предположения о главенствующей роли процесса диссоциации SF₆ и других компонентов смеси электронным ударом в эффекте ограничения плотности тока, а также интерпретация разного характера влияния H₂ и C₂H₆ на устойчивость ОСР в рабочих смесях HF-лазера.

2. Экспериментальная установка и методика экспериментов

Схема экспериментальной установки приведена на рис.1. ОСР зажигался в геометрии электродов стержень (катод) – плоскость при межэлектродном расстоянии $d = 48$ мм и давлении газовых смесей $p = 9 - 30$ Тор. Катод представлял собой медный провод диаметром 1 мм в

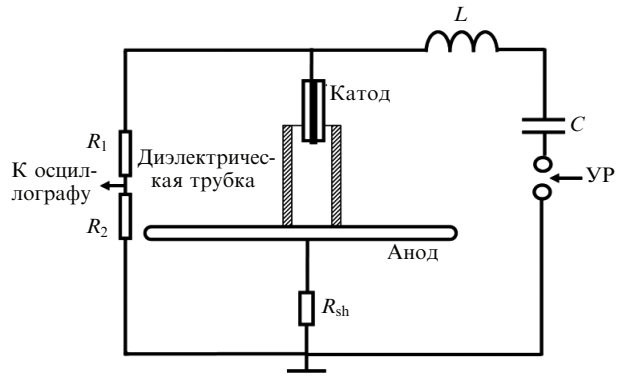


Рис.1. Схема экспериментальной установки:
УР – управляемый искровой разрядник; R_{sh} – токовый шунт; $R_1 - R_2$ – делитель напряжения; C – конденсатор; L – индуктивность.

полиэтиленовой изоляции. В разрядном промежутке с таким катодом ОСР развивается в виде диффузного канала, замыкающегося на единственное катодное пятно [5]. На промежуток через варьируемую индуктивность L разряжался конденсатор C ёмкостью 0.8–3 нФ, заряжаемый до напряжения 13–40 кВ. Исследовался разряд в SF₆ и в смесях SF₆ с C₂H₆ и H₂. Для фиксации объёма V_{dis} , занимаемого плазмой ОСР, поперечные размеры разряда ограничивались диэлектрической трубкой диаметром 8.5 мм (метод ограниченного разряда [5]). Если ограничение отсутствует, объём V_{dis} увеличивается с увеличением вводимой в плазму ОСР электрической энергии. Регистрация напряжения и тока ОСР осуществлялась соответственно с помощью калиброванных делителя напряжения и шунта цифровым осциллографом с полосой пропускания 100 МГц. Для минимизации влияния на результаты измерений реакций с участием химически активных атомов фтора, образующихся в процессе диссоциации SF₆ электронным ударом, в большинстве экспериментов полная длительность тока разряда (по уровню 0.1) не превышала 100 нс.

Удельный энерговклад в плазму ОСР в расчёте на одну молекулу w_{in} определялся как

$$w_{in} = \frac{1}{V_{dis} N_0} \int_0^{t_{max}} U(t) I(t) dt, \quad (1)$$

где N_0 – исходная суммарная концентрация молекул; $U(t)$ – напряжение на разрядном промежутке; $I(t)$ – ток ОСР; t_{max} – время достижения током максимального значения (длительность переднего фронта токового импульса). Время отсчитывается от момента пробоя разрядного промежутка.

В экспериментах регистрировались зависимости от w_{in} напряжения U_{qs} в квазистационарной фазе горения ОСР. Величина U_{qs} измерялась в момент времени, соответствующий максимуму тока, $U_{qs} = U(t_{max})$, поэтому и интегрирование в (1) проводится от нуля до t_{max} . Изменение $U_{qs}(w_{in})$ с ростом w_{in} характеризовалось параметром $\Delta = (U_{qs} - U_{qs}^0)/U_{qs}^0$, где U_{qs}^0 – напряжение U_{qs} при минимальном энерговкладе в плазму, определяемое по экспериментальной зависимости $U_{qs}(w_{in})$ при $w_{in} \rightarrow 0$.

Критическая приведённая напряжённость электрического поля $(E/N)_{cr}$ (E – напряжённость электрического поля, а N – концентрация молекул), отвечающая U_{qs}^0 (в сильно электроотрицательных газах величина $(E/N)_{cr}$

близка к E/N в квазистационарной фазе горения разряда [15]), определялась из соотношения

$$U_{qs}^0 = (E/N)_{cr} dN_0 + U_k, \quad (2)$$

где U_k – катодное падение потенциала (толщиной катодного слоя в рассматриваемом диапазоне давлений можно пренебречь [22]). С этой целью в исследуемых газовых смесях регистрировались зависимости U_{qs}^0 от параметра pd при низких удельных энерговкладах ($w_{in} < 0.05$ эВ/мол.). Давление смесей варьировалось в диапазоне 6–60 Тор. В данной серии измерений зона ОСР не ограничивалась диэлектрической трубкой. Зависимости $U_{qs}^0(pd)$ для всех газовых смесей с хорошей точностью аппроксимируются линейными функциями.

3. Результаты экспериментов и их обсуждение

На рис.2 приведены осциллограммы тока и напряжения ОСР, снятые для смеси $SF_6:C_2H_6 = 5:1$ при достаточно большой длительности разрядного тока для двух значений w_{in} . Видно, что с ростом энерговклада осциллограмма напряжения деформируется и U_{qs} увеличивается, что свидетельствует о включении механизмов ограничения плотности тока ОСР [5]. На осциллограмме напряжения (рис.2, б) после достижения током максимального значения наблюдается участок, на котором напряжение довольно резко снижается. Это связано с увеличением длины незавершенного искрового канала, прорастающего в промежуток со стороны катода, при увеличении w_{in} . При дальнейшем увеличении w_{in} время от момента зажигания разряда до появления на осциллограмме напряжения участка резкого снижения уменьшается и в конечном счёте ОСР контрагирует. Поэтому в экспериментах энерговклад w_{in} ограничивался значениями, при

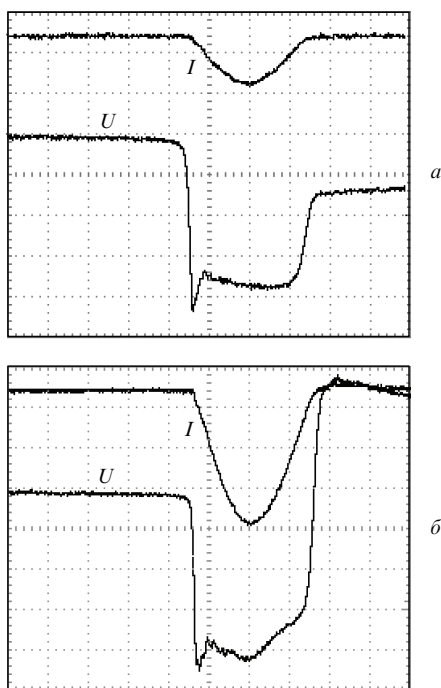


Рис.2. Осциллограммы напряжения U и тока I ограниченного ОСР в смеси $SF_6:C_2H_6 = 1:5$ при давлении $p = 15$ Тор и удельном энерговкладе $w_{in} = 0.7$ (а) и 2 эВ/мол. (б). Развёртка 50 нс/дел.

3 Квантовая электроника, т.41, № 8

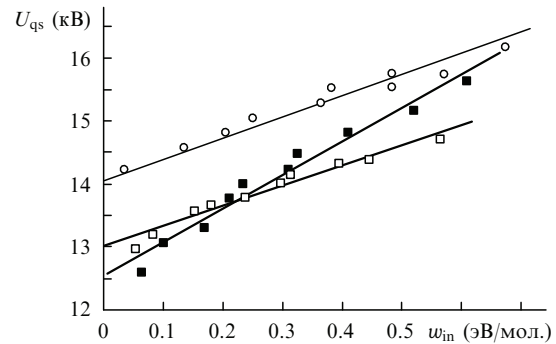


Рис.3. Зависимости U_{qs} от w_{in} при $t_{max} = 30$ нс и $p = 24$ Тор для ОСР в SF_6 (\circ), а также в смесях $SF_6:C_2H_6 = 5:1$ (\blacksquare) и $SF_6:H_2 = 5:1$ (\square).

которых искажения осциллограммы напряжения не проявляются. Кроме того, как уже отмечалось выше, зависимости $U_{qs}(w_{in})$ снимались при длительности разрядного тока, не превышающей 100 нс, что также способствовало реализации ОСР с большими w_{in} без образования заметного незавершённого канала.

На рис.3 приведены зависимости U_{qs} от w_{in} для SF_6 и смесей SF_6 с C_2H_6 и H_2 . В диапазоне $w_{in} = 0 - 0.7$ эВ/мол. эти зависимости с достаточно хорошей точностью могут быть аппроксимированы линейной функцией

$$U_{qs} = U_{qs}^0 + Kw_{in}, \quad (3)$$

где K – константа, зависящая от состава газовой смеси. Заметный рост U_{qs} с ростом вводимой в плазму энергии свидетельствует о существовании механизмов ограничения плотности тока. В описываемых экспериментах моделируется один диффузный канал ОСР, возможность расширения которого ограничена стенками диэлектрической трубы. В отсутствие трубы занимаемый разрядом объём будет, благодаря механизмам ограничения плотности тока, увеличиваться с ростом энерговклада, а в случае плоской геометрии электродов эти механизмы будут препятствовать протеканию всей запасённой в конденсаторе энергии через один канал и стимулировать переход разрядной системы в новое состояние с образованием дополнительных диффузных каналов [5, 15].

Как уже отмечалось, диссоциация нейтральных молекул электронным ударом представляется наиболее вероятным механизмом ограничения плотности тока в диффузном канале. Актуальное значение в связи с этим приобретает вопрос о количественной оценке эффективности данного процесса в рассматриваемых условиях.

Пусть смесь состоит из S компонентов, для каждого из которых имеется n_l различных каналов диссоциации, причем в результате одного акта диссоциации l -го компонента в i -м канале образуется m_{il} фрагментов. Тогда для скорости нарастания во времени суммарной концентрации $N_d^{(il)}$ продуктов диссоциации в этом канале имеем выражение

$$\frac{dN_d^{(il)}}{dt} = \frac{1}{e} m_d \eta_d^{(il)} (E/N) JE, \quad 1 \leq i \leq n_l, \quad 1 \leq l \leq S, \quad (4)$$

где

$$\eta_d^{(il)}(E/N) = \frac{k_d^{(il)}(E/N)}{u_e(E/N)} \frac{\delta_l}{E/N}; \quad \delta_l = \frac{N_l}{N}; \quad (5)$$

e – заряд электрона; J – плотность тока; N_l – концентрация l -го компонента; $k_d^{(il)}(E/N)$ и $u_e(E/N)$ – зависящие от приведённой напряжённости электрического поля E/N константа скорости диссоциации электронным ударом l -го компонента в i -м канале и скорость дрейфа электронов соответственно. Введённая нами величина $\eta_d^{(il)}(E/N)$ имеет простой физический смысл. Действительно, как следует из (4), $e/\eta_d^{(il)}(E/N)$ – это энергетическая цена одного акта диссоциации l -го компонента в i -м канале. Суммарная концентрация всех фрагментов диссоциации, образовавшихся к моменту достижения током максимального значения, есть

$$\Delta N_d = \frac{1}{e} \sum_l \sum_i m_{il} \int_0^{t_{\max}} \eta_d^{(il)}(E/N) J E dt. \quad (6)$$

При сравнительно небольших удельных энерговкладах приведённая напряжённость поля E/N мало меняется по мере нарастания тока разряда. Кроме того, числитель и знаменатель в соотношении (5) являются монотонно растущими функциями параметра E/N , в результате величина $\eta_d^{(il)}(E/N)$ для характерных условий наших экспериментов (энергия вводится в плазму в квазистационарной фазе разряда при величине E/N , близкой к постоянной) слабо зависит от E/N . В частности, используя расчётные данные по кинетическим коэффициентам для SF₆ [21], нетрудно убедиться, что $\eta_d^{(il)}(E/N)$ для чистого SF₆ увеличивается менее чем на 10 % даже при пятикратном росте приведённой напряжённости поля – от 100 до 500 Тд. Сказанное позволяет вынести $\eta_d^{(il)}(E/N)$ в (6) за знак интеграла. В итоге с учётом (1) имеем

$$\Delta N_d = \frac{1}{e} w_{in} N_0 \sum_l \sum_i m_{il} \eta_d^{(il)}(E/N). \quad (7)$$

Определим степень диссоциации α как суммарную избыточную, по сравнению с исходной концентрацией N_0 , концентрацию частиц $\Delta \tilde{N}_d$ в диссоциированном газе, отнесённую к N_0 : $\alpha = \Delta \tilde{N}_d / N_0$. Поскольку в каждом акте диссоциации исчезает одна молекула исходного компонента, то

$$\Delta \tilde{N}_d = \frac{1}{e} w_{in} N_0 \sum_l \sum_i (m_{il} - 1) \eta_d^{(il)}(E/N). \quad (8)$$

Энергетическая цена образования одного из фрагментов исходных компонентов смеси независимо от их природы

$$E_d = \frac{w_{in} N_0}{\Delta N_d} = \frac{e}{\sum_l \sum_i m_{il} \eta_d^{(il)}(E/N)}. \quad (9)$$

Величина E_d и α связаны между собой очевидным соотношением:

$$E_d = \frac{w_{in}}{\alpha} \xi, \quad \xi = 1 - \frac{\sum_l \sum_i \eta_d^{(il)}}{\sum_l \sum_i m_{il} \eta_d^{(il)}}. \quad (10)$$

Для определения параметра ξ необходимо иметь достаточно полную информацию обо всех каналах диссоциации, которая для смесей многоатомных молекул в настоящее время вряд ли имеется. Вместе с тем можно ожидать, что именно для таких смесей, как следует из (10), ξ мало отличается от единицы.

Выразим E_d через измеряемые в эксперименте величины, полагая, что рост напряжения горения ОСР с увеличением энерговклада обусловлен исключительно диссоциацией. В соответствии с (2) и (3) имеем

$$(E/N) dN_0 (1 + \alpha) + U_k = U_{qs}^0 + K w_{in}. \quad (11)$$

При разряде в диссоциирующем газе приведённая напряжённость поля может, вообще говоря, отличаться от критической величины $(E/N)_{cr}$ в отсутствие диссоциации: $E/N = (E/N)_{cr}(1 + \varepsilon)$. При малых степенях диссоциации ($\alpha \ll 1$) это отличие, однако, невелико, и с достаточной точностью можно считать, что $|\varepsilon| \ll 1$. С учётом этого из (2) и (11) следует выражение

$$(E/N)_{cr} (\varepsilon + \alpha) dN_0 = K w_{in}. \quad (12)$$

Полученные экспериментальные данные не позволяют определить ни знак, ни абсолютную величину ε . Можно говорить лишь о приближённой оценке α или отношения E_d/ξ . В частности, пренебрегая ε по сравнению с α , имеем

$$\frac{w_{in}}{\alpha} = \frac{(E/N)_{cr} dN_0}{K}. \quad (13)$$

Значения w_{in}/α , найденные с учётом этого допущения по экспериментальным зависимостям, представлены в табл.1 и позволяют сделать ряд замечаний принципиального характера.

Во-первых, степень диссоциации α при достаточно заметных удельных энерговкладах (см. рис.3) может превышать 10 %. Иными словами, в рассматриваемых условиях процесс диссоциации компонентов исследуемых смесей электронным ударом действительно протекает весьма эффективно.

Во-вторых, видно, что w_{in}/α сильно зависит от состава газа. Для смесей SF₆ с этаном она значительно ниже, чем для чистого SF₆ или смеси SF₆ с водородом. Последнее, по-видимому, обусловлено тем, что при диссоциации молекула C₂H₆ может распадаться более чем на два фрагмента (см. соотношение (8)). Кроме того, константа диссоциации молекулы H₂ электронным ударом сравнительно мала, поскольку суммарное сечение диссоциации достигает максимального значения $\sim 8 \times 10^{-17}$ см² лишь при энергии электронов ~ 15 эВ, а эффективный механизм диссоциации через возбуждение колебательных уровней не успевает «включиться» за время разряда [23]. С ростом процентного содержания этана (увеличения δ_l) значение w_{in}/α в соответствии с (8) должно уменьшаться, поскольку константа скорости диссоциации $k_d^{(il)}(E/N)$ для этана в рассматриваемых условиях заведомо больше, чем для SF₆. Это находится в полном соответствии с данными табл.1.

В значительной мере оправдывает сделанные при оценке α допущения следующее обстоятельство. Соглас-

Табл.1. Значения параметра w_{in}/α для SF₆ и смесей SF₆–H₂ и SF₆–C₂H₆.

Смесь	w_{in}/α (эВ/мол.)
Чистый SF ₆	5 ± 1
SF ₆ :H ₂ = 5:1	5.2 ± 1.1
SF ₆ :C ₂ H ₆ = 5:1	3.1 ± 0.9
SF ₆ :C ₂ H ₆ = 5:5	2.6 ± 0.6

но [24] в условиях ОСР в чистом SF_6 доминирует канал диссоциации



В [24] для этих условий была экспериментально определена энергетическая цена образования атома фтора $\tilde{E}_d(F)$, равная отношению удельного энерговклада $w_{in}N_0$ к суммарной концентрации образовавшихся в процессе диссоциации атомов фтора $\Delta\tilde{N}_d(F)$. Поскольку, в соответствии с реакцией (14), $\Delta\tilde{N}_d(F) = \Delta\tilde{N}_d$, то с учётом соотношения (8) имеем

$$\tilde{E}_d(F) = \frac{w_{in}N_0}{\Delta\tilde{N}_d(F)} = \frac{w_{in}N_0}{\Delta\tilde{N}_d} = \frac{w_{in}}{\alpha}. \quad (15)$$

В [24] и [25] получены $\tilde{E}_d(F) = 4^{+1.2}_{-0.8}$ и 4.5 эВ соответственно, что находится в весьма хорошем согласии с нашим результатом: $w_{in}/\alpha = 5 \pm 1$ эВ (см. табл.1). Косвенным образом это подтверждает и доминирующую роль реакции диссоциации (14) в чистом SF_6 .

Заметим, что энергетическая цена образования одного фрагмента E_d в реакции (14) несколько меньше. Действительно, в этом случае $S = 1$, $m_{ii} = 3$, $\xi = 2/3$. В результате с использованием данных табл.1 из соотношения (10) получаем $E_d \approx 3.3$ эВ.

Для смесей SF_6 с C_2H_6 приведенные в табл.1 значения w_{in}/α из-за отсутствия детальной информации о каналах диссоциации уже не могут использоваться для определения цены образования атомов фтора. Они дают, однако, разумное представление о некоторых средних затратах энергии на образование фрагмента диссоциации независимо от его природы.

На рис.4 приведены зависимости параметра $\Delta = (U_{qs} - U_{qs}^0)/U_{qs}^0$ от w_{in} , построенные по данным рис.3. Видно, что Δ для смеси $SF_6 - C_2H_6$ в целом больше и растёт с увеличением w_{in} заметно быстрее, чем для SF_6 и смеси $SF_6 - H_2$. В пределах точности линейной аппроксимации (3)

$$\Delta = \frac{K}{U_{qs}^0} w_{in}, \quad (16)$$

т. е. Δ растёт прямо пропорционально w_{in} .

В экспериментах настоящей работы было также установлено, что в смесях SF_6 с углеводородами при постоянном w_{in} величина Δ увеличивается с ростом процентного содержания углеводорода в смеси (но не более чем до 50 %), причем увеличение (уменьшение) Δ коррелирует с увеличением (уменьшением) устойчивости ОСР.

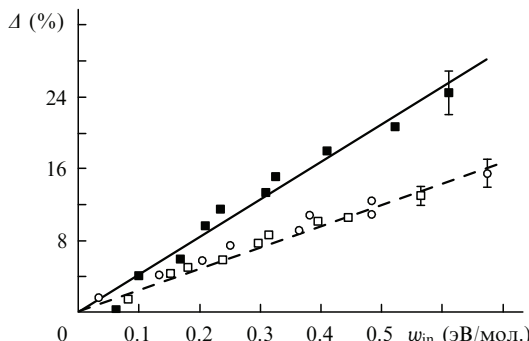


Рис.4. Зависимости параметра $\Delta = (U_{qs} - U_{qs}^0)/U_{qs}^0$ от w_{in} при $p = 24$ Тор и $t_{max} = 30$ нс для ОСР в SF_6 (○), а также в смесях $SF_6:C_2H_6 = 5:1$ (■) и $SF_6:H_2 = 5:1$ (□).

Следует отметить и явную корреляцию Δ и w_{in}/α : при одинаковом w_{in} параметр Δ тем больше, чем меньше w_{in}/α , т. е. относительное увеличение напряжения горения ОСР, связанное с ограничением плотности тока, тем больше, чем легче диссоциирует смесь в плазме ОСР. Фактически, параметр Δ определяет саму возможность зажигания ОСР в форме самоинициирующегося объёмного разряда и, при прочих равных условиях, запас его устойчивости.

Заметим, что линейность экспериментальных зависимостей U_{qs} и Δ от w_{in} с учётом приведённого выше теоретического рассмотрения, а также хорошее согласие найденной в настоящей работе энергетической цены образования атома фтора с её значениями, полученными другими экспериментальными методами [24, 25], свидетельствуют в пользу предположения о главенствующей роли процессов диссоциации SF_6 и других компонентов рабочих сред HF-лазера электронным ударом в эффекте ограничения плотности тока.

Таким образом, из представленного экспериментального материала можно сделать вывод о том, что в смесях SF_6 с C_2H_6 эффект ограничения плотности тока, связанный с диссоциацией молекул в плазме ОСР, более выражен, чем в чистом SF_6 и его смесях с водородом. Вследствие этого при развитии ОСР в смесях SF_6 с углеводородами в системах с плоскими электродами новые диффузные каналы должны появляться при меньшей электрической энергии, введённой в плазму образованного ранее канала, чем в смесях с более высокой энергией диссоциации молекул. Как результат, число каналов должно увеличиться, т. е. должна улучшиться однородность ОСР и, из-за уменьшения тока через отдельное катодное пятно, должна повыситься его устойчивость (должно увеличиться время устойчивого горения). По-видимому, именно указанными факторами и обусловлены более высокие устойчивость и однородность ОСР в смесях SF_6 с углеводородами (углеродтеридами), чем в смесях SF_6 с водородом (дейтерием), на что обращалось внимание ранее [4, 5, 16, 17] и что ещё раз подтверждается экспериментами настоящей работы.

4. Заключение

Таким образом, установлено, что в газовых смесях на основе SF_6 , в том числе и в рабочих смесях нецепного HF-лазера, напряжение горения ОСР практически линейно увеличивается с ростом вводимой в плазму энергии.

В предположении, что основную роль в увеличении напряжения горения ОСР с ростом вводимой энергии играет процесс диссоциации молекул электронным ударом, из экспериментальных зависимостей найдены приближённые значения энергетической цены образования фрагментов диссоциации в рабочих средах HF-лазеров. Определена энергетическая цена образования атома фтора в электрическом разряде для чистого SF_6 , которая хорошо согласуется с результатами, полученными другими методами [24, 25].

Установлено, что добавление к SF_6 этана, в отличие от добавок водорода, усиливает эффект ограничения плотности тока – приводит к существенному увеличению скорости роста напряжения на плазме ОСР с ростом введённой в плазму энергии из-за диссоциации молекул углеводорода электронным ударом при больших значениях E/N , определяемых характеристиками SF_6 как ос-

новного компонента смеси. Это дает основание полагать, что именно усиление эффекта ограничения плотности тока и является основной причиной повышения устойчивости и однородности ОСР при добавлении к SF₆ углеводородов.

Работа частично поддержана РФФИ (грант № 09-02-00475).

1. Месяц Г.А., Королев Ю.Д. УФН, **148** (1), 101 (1986).
2. Apollonov V.V., Baitsur G.G., Ermachenko A.V., Firsov K.N., Konev V.M., Kononov I.G., Koval'chuk O.B., Kralin V.V., Minenkov V.R., Prokhorov A.M., Semenov S.K., Shubin B.G., Yamschchikov V.A. J. Opt. Soc. Am. B, **8** (2), 220 (1991).
3. Осипов В.В. УФН, **170** (3), 225 (2000).
4. Апоплонов В.В., Казанцев С.Ю., Орешкин В.Ф., Сайфулин А.В., Фирсов К.Н. Изв. РАН. Сер. физич., **64** (7), 1439 (2000).
5. Апоплонов В.В., Белевцев А.А., Казанцев С.Ю., Сайфулин А.В., Фирсов К.Н. Квантовая электроника, **30** (3), 207 (2000).
6. Мак-Даниэль И., Нигэн У. Газовые лазеры (М.: Мир, 1986, с. 461 – 502).
7. Генкин С.А., Карлов Н.В., Клименко К.А., Королев Ю.Д., Кузьмин Г.П., Месяц Г.А., Новоселов Ю.Н., Прохоров А.М. Письма в ЖТФ, **10** (11), 641 (1984).
8. Апоплонов В.В., Байцур Г.Г., Прохоров А.М., Фирсов К.Н. Письма в ЖТФ, **11** (20), 1262 (1985).
9. Апоплонов В.В., Байцур Г.Г., Прохоров А.М., Фирсов К.Н. Квантовая электроника, **14** (10), 1940 (1987).
10. Riva R., Legentil M., Pasquers S., Puech V. J. Phys. D: Appl. Phys., **28**, 856 (1995).
11. Белевцев А.А., Фирсов К.Н. В кн.: Энциклопедия низкотемпературной плазмы. Т. XI-4. Газовые и плазменные лазеры (М.: Физматлит, 2005, с. 761 – 763).
12. Апоплонов В.В., Казанцев С.Ю., Орешкин В.Ф., Фирсов К.Н. Квантовая электроника, **25** (2), 123 (1998).
13. Apollonov V.V., Firsov K.N., Kazantsev S.Y., Oreshkin V.F. Proc. SPIE Int. Soc. Opt. Eng., **3574**, 374 (1998).
14. Белевцев А.А., Казанцев С.Ю., Сайфулин А.В., Фирсов К.Н. Квантовая электроника, **33** (6), 489 (2003).
15. Апоплонов В.В., Белевцев А.А., Казанцев С.Ю., Сайфулин А.В., Фирсов К.Н. Квантовая электроника, **32** (2), 95 (2002).
16. Апоплонов В.В., Казанцев С.Ю., Орешкин В.Ф., Фирсов К.Н. Квантовая электроника, **24** (3), 213 (1997).
17. Бычков Ю.И., Горчаков С.Л., Ястребский А.Г. Квантовая электроника, **30** (8), 733 (2000).
18. Belevtsev A.A., Firsov K.N., Kazantsev S.Yu., Kononov I.G. Appl. Phys. B, **82**, 455 (2006).
19. Белевцев А.А., Казанцев С.Ю., Кононов И.Г., Фирсов К.Н. Квантовая электроника, **40** (6), 484 (2010).
20. Belevtsev A.A., Firsov K.N., Kazantsev S.Yu., Kononov I.G. J. Phys. D: Appl. Phys., **42**, 215205 (2009).
21. Словецкий Д.И., Дерюгин А.А. В сб.: Химия плазмы. Под ред. Б.М.Смирнова (М.: Энергоатомиздат, 1987, т. 13, с. 240 – 277).
22. Апоплонов В.В., Белевцев А.А., Казанцев С.Ю., Сайфулин А.В., Фирсов К.Н. Квантовая электроника, **31** (7), 629 (2001).
23. Словецкий Д.И. Механизмы химических реакций в неравновесной плазме (М.: Наука, 1980).
24. Гордон Е.Б., Матюшенко В.И., Репин П.Б., Сизов В.Д. Химическая физика, **8** (9), 1212 (1989).
25. Башкин А.С., Ораевский А.Н., Томашев В.Н., Юрьевич Н.Н. Квантовая электроника, **10** (2), 428 (1983).